

# Безрезонаторная оптическая бистабильность в квазиодномерных полупроводниках пайерлсовского типа

**А.Л.Семёнов, М.Ш.Шарапов**

*Показана принципиальная возможность реализации безрезонаторной оптической бистабильности в квазиодномерных пайерлсовских полупроводниках. Нелинейное взаимодействие системы со световым полем обусловлено красным сдвигом нижнего края оптического перехода полупроводника при увеличении концентрации неравновесных электрон-дырочных пар.*

**Ключевые слова:** оптическая бистабильность, квазиодномерный пайерлсовский полупроводник.

## 1. Введение

Большие перспективы использования оптической бистабильности для создания элементов оптической памяти и других устройств квантовой электроники обуславливают неослабевающий интерес к ее исследованию и поиску новых веществ с данным нелинейно-оптическим свойством [1–10]. Одним из наиболее хорошо изученных материалов, в котором наблюдается скачкообразное, гистерезисное поведение внутренних параметров системы при плавном изменении параметров падающего излучения, является сульфид кадмия [11–16]. В этом веществе благодаря сильному электрон-электронному взаимодействию при увеличении концентрации неравновесных фотовозбужденных электрон-дырочных пар происходит существенная перестройка электронного спектра и, как следствие, при определенных специально подобранных параметрах падающего излучения возникает безрезонаторная оптическая бистабильность при нарастающем поглощении [1, 11–16].

Красный сдвиг нижнего края полосы оптического поглощения при увеличении концентрации электрон-дырочных пар, имеющий место в сульфидах кадмия, наблюдается также в целом ряде квазиодномерных полупроводников пайерлсовского типа: комплексах платины со смешанной валентностью [17], солях с переносом заряда типа TTF-TCNQ, NMP-TSNQ, TTT(TCNQ)<sub>2</sub> [17], голубой бронзе K<sub>0.3</sub>MnO<sub>3</sub> [18, 19], двуокиси ванадия [20, 21], TaS<sub>3</sub> [19, 22, 23], TaSe<sub>3</sub>, (NbSe<sub>4</sub>)<sub>10/3</sub>I, (NbSe<sub>4</sub>)<sub>2</sub>I, NbS<sub>3</sub>, NbSe<sub>3</sub> и др. [19]. В частности, в двуокиси ванадия короткий лазерный импульс большой мощности способен инициировать фазовый переход полупроводник–металл (обращение в нуль ширины запрещенной зоны электронного спектра системы), происходящий по электронному механизму [21, 24, 25]. Отметим, что в квазиодномерных пайерлсовских полупроводниках, в отличие от сульфида кадмия, перестройка электронного спектра

системы при изменении концентрации электрон-дырочных пар обусловлена сильным электрон-фононным взаимодействием [17, 19, 20, 26–32].

Таким образом, имеются хорошие предпосылки обнаружения безрезонаторной оптической бистабильности при нарастающем поглощении в квазиодномерных полупроводниках пайерлсовского типа. Теория данного явления в этих полупроводниках была развита в серии работ [33–35], где обсуждались механизм возникновения и условия наблюдения безрезонаторной оптической бистабильности и фотоиндуцированного фазового перехода в пайерлсовском полупроводнике.

В настоящей работе в рамках развитой в статьях [33–35] теории исследуется зависимость ширины запрещенной зоны электронного спектра квазиодномерного пайерлсовского полупроводника и концентрации неравновесных фотовозбужденных электрон-дырочных пар от интенсивности и частоты падающего на образец излучения.

## 2. Основные уравнения

Система Пайерлса, рассматриваемая в настоящей статье, представляет собой одномерную цепочку атомов с одним внешним электроном в каждом атоме. В высокотемпературной металлической фазе атомы в цепочке расположены эквидистантно, а электронная зона проводимости заполнена наполовину. При достаточно низких температурах одномерный металл становится неустойчивым, и при некоторой критической температуре происходит фазовый переход металл–полупроводник. При этом атомы в цепочке попарно сближаются [17, 28].

Уравнения, описывающие поведение пространственно-однородного квазиодномерного пайерлсовского полупроводника с одним внешним электроном на атом в световом поле, в дипольном приближении имеют вид [23, 33, 35]

$$\frac{dn}{dt} = \frac{8\pi I}{cn_1\hbar^2} \sum_{|k| \leq \pi/2} d_k^2 g \left( \frac{2\varepsilon_k}{\hbar} - \omega_0 \right) \tanh \frac{\varepsilon_k - \mu}{2k_B T} - \frac{n - n_0}{\tau}, \quad (1)$$

$$\frac{d^2\xi}{dt^2} + \frac{1}{\tau_p} \frac{d\xi}{dt} = \frac{4}{NMR^2} \left( \sum_{|k| \leq \pi/2} \frac{\partial \varepsilon_k}{\partial \xi} \tanh \frac{\varepsilon_k - \mu}{2k_B T} - A \xi \right), \quad (2)$$

где  $k = 0, \pm 2\pi/N, \dots, \pm \pi/2$  – обезразмеренные квазиволновые числа электрона одномерной электронной зоны из первой зоны Бриллюэна, ширина которой равна  $2\pi$ ;  $n_1$  – показатель преломления среды;  $n$  и  $n_0$  – концентрации электронов в зоне проводимости при облучении полупроводника и в отсутствие облучения соответственно;  $\xi$  – параметр порядка фазового перехода металл–полупроводник (приведенная амплитуда фрелиховской фононной моды);  $\tau$  и  $\tau_p$  – времена межзонной электронной и фононной релаксации соответственно;  $I$  – интенсивность падающего излучения;  $\mu$  – квазиуровень Ферми электронов зоны проводимости;  $k_B$  – постоянная Больцмана;  $T$  – абсолютная температура;  $\omega_0$  – центральная частота оптического спектра падающего излучения;  $N$  и  $M$  – концентрация и масса атомов, принимающих участие в образовании одномерной зоны электронного спектра соответственно;  $R$  – эффективный радиус атомной волновой функции электрона;  $g(\omega)$  – нормированная на единицу форма оптического спектра падающего излучения;

$$\varepsilon_k = 2b \operatorname{sign}(\cos k) (\cos^2 k + \sinh^2 \xi)^{1/2} \quad (3)$$

– электронный спектр пайерлсовского полупроводника в приближении сильной связи;  $4b$  – ширина электронной зоны проводимости в металлической фазе (при  $\xi = 0$ );

$$d_k = \frac{2d}{1 + \varphi_k^2} |(1 - \varphi_k^2) \sinh \xi \cos k - 2\varphi_k \cosh \xi \sin k| \quad (4)$$

– матричный элемент оператора дипольного момента для переходов электрона с квазиволновым числом  $k$  из валентной зоны в зону проводимости;

$$\varphi_k = \frac{\cosh \xi \cos k - \operatorname{sign}(\cos k) (\cos^2 k + \sinh^2 \xi)^{1/2}}{\sinh \xi \sin k}; \quad (5)$$

$2d \sinh \xi = d_0$  – матричный элемент оператора дипольного момента в центре зоны Бриллюэна (при  $k = 0$ );

$$A = 2 \sum_{|k| \leq \pi/2} \left( \frac{\partial^2 \varepsilon_k}{\partial \xi^2} \tanh \frac{\varepsilon_k}{2k_B T_0} \right) \Big|_{\xi=0} \quad (6)$$

– обобщенный коэффициент жесткости кристаллической решетки, который может быть выражен через критическую температуру  $T_0$  фазового перехода металл–полупроводник [25].

Уравнения динамики квазидимерного пайерлсовского полупроводника (1), (2) следует дополнить соотношением электронейтральности, связывающим квазиуровень Ферми  $\mu$  и концентрацию электронов  $n$  зоны проводимости:

$$n = \frac{N}{2} - \sum_{|k| \leq \pi/2} \tanh \frac{\varepsilon_k - \mu}{2k_B T}. \quad (7)$$

Уравнения (1), (2) с учетом уравнения электронейтральности (7) и вспомогательных соотношений (3)–(6) полностью описывают динамику параметров  $n(t)$  и  $\xi(t)$  пайерлсовского полупроводника при заданной температуре  $T$  и параметрах падающего излучения: интенсивности  $I$ , центральной частоте спектра излучения  $\omega_0$ , форме спектра излучения  $g(\omega)$ .

### 3. Стационарное решение для невырожденного полупроводника

Анализ уравнений (1)–(7) проведем для невырожденного полупроводника, когда квазиуровни Ферми электронов  $\mu_e = \mu$  и дырок  $\mu_p = -\mu$  лежат в глубине запрещенной зоны электронного спектра  $\varepsilon_k$  (3):

$$0 \leq \mu < \frac{\varepsilon}{2} - 2k_B T, \quad (8)$$

где

$$\varepsilon = 4b \sinh \xi \quad (9)$$

– ширина запрещенной зоны электронного спектра  $\varepsilon_k$  (3) квазидимерного пайерлсовского полупроводника.

Исключая из уравнений (2), (7) квазиуровень Ферми  $\mu$ , для стационарного случая ( $d\xi/dt \equiv 0$ ) находим приближенную связь между шириной запрещенной зоны  $\varepsilon$  (9) и концентрацией  $n$  электронов в зоне проводимости при  $T < T_0/2$ :

$$n = \frac{Ne}{4\pi b} \ln \frac{\varepsilon_0}{\varepsilon}, \quad (10)$$

где  $\varepsilon_0$  – ширина запрещенной зоны электронного спектра (3) в отсутствие облучения.

В дальнейшем будем предполагать, что огибающая оптического спектра падающего на полупроводник излучения имеет лоренцеву форму:

$$g(\omega) = \frac{\tau_0}{\pi[1 + (\omega\tau_0)^2]}, \quad (11)$$

где  $\tau_0$  – обратная полуширина спектра. В этом случае для стационарного установившегося режима ( $I = \text{const}$ ,  $\xi = \text{const}$ ,  $n = \text{const}$ ) из уравнений (1), (2), (7) с учетом (9) получаем приближенную зависимость  $I(\varepsilon, \omega_0)$ :

$$I = \frac{cn_1 \hbar^2}{32\pi^2 d^2 \tau (\tau_0^3 \omega_0)^{1/2}} \times (x - x_0) \left\{ (1 + x^2) \left[ x + (1 + x^2)^{1/2} \right] \right\}^{1/2}, \quad (12)$$

где

$$x = \tau_0 \left( \frac{\varepsilon}{\hbar} - \omega_0 \right) \quad (13)$$

– безразмерный параметр, характеризующий отстройку частоты нижнего края оптического перехода  $\varepsilon/\hbar$  от несущей частоты излучения  $\omega_0$ ;  $x_0 = \tau_0(\varepsilon_0/\hbar - \omega_0)$  – отстройка в отсутствие облучения, когда ширина запрещенной зоны равна  $\varepsilon_0$ . При выводе уравнения (12) предполагалось также, что центральная частота спектра излучения  $\omega_0$  близка к частоте нижнего края оптического перехода:

$$|\varepsilon - \hbar\omega_0| \ll \hbar\omega_0. \quad (14)$$

Условие невырожденности (8) с учетом уравнений (7), (10) может быть записано в более удобном виде:

$$\varepsilon_0 - \varepsilon < \frac{(\varepsilon_0 k_B T)^{1/2}}{2}; \quad (15)$$

здесь, как и в (10), предполагается, что  $T < T_0/2$ .

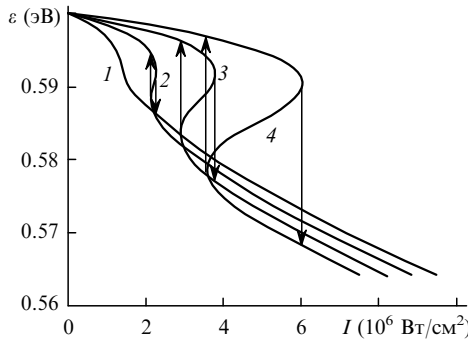


Рис.1. Зависимость ширины запрещенной зоны  $\varepsilon$  электронного спектра квазиодномерного пайерлсовского полупроводника от интенсивности  $I$  светового поля для центральной частоты его спектра  $\hbar\omega_0 = 0.592$  (1), 0.588 (2), 0.584 (3) и 0.580 эВ (4).

#### 4. Результаты численных расчетов и их обсуждение

Численный расчет по формулам (10), (12) проводился для следующих значений параметров, характерных для двуокиси ванадия [20]: концентрация атомов ванадия  $N \approx 7 \cdot 10^{22}$  см<sup>-3</sup>, ширина зоны проводимости электронного спектра в металлической фазе  $4b \approx 1.1$  эВ, ширина запрещенной зоны электронного спектра в низкотемпературной полупроводниковой фазе  $\varepsilon_0 = 4b \sinh \xi_0 \approx 0.6$  эВ, характерное время межзонной электронной релаксации  $\tau \approx 3 \cdot 10^{-11}$  с [36], матричный элемент оператора дипольного момента системы для переходов электрона из валентной зоны в зону проводимости в центре зоны Бриллюэна  $d_0 \approx 10^{-18}$  г·см/с [37, 38], обратная полуширина спектра падающего излучения  $\tau_0 \approx 10^{-13}$  с, показатель преломления среды на частоте падающего излучения  $n_1 \approx \sqrt{10} \approx 3.16$ .

Результаты численных расчетов представлены на рис.1–3. На рис.1, 2 показаны зависимости ширины запрещенной зоны  $\varepsilon$  электронного спектра пайерлсовского полупроводника и концентрации  $n$  электронов в зоне проводимости от интенсивности  $I$  светового поля для разных центральных частот  $\omega_0$  оптического спектра светового поля. Проведенный нами анализ показал, что при выполнении условия

$$\varepsilon_0 - \hbar\omega_0 > 1.62\hbar/\tau_0 = 0.011 \text{ эВ}, \quad (16)$$

накладывающее ограничение снизу на несущую частоту  $\omega_0$  светового поля, зависимости  $\varepsilon(I)$  и  $n(I)$  в некоторой

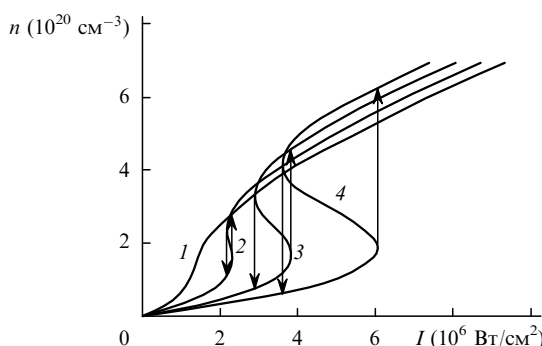


Рис.2. Зависимость концентрации  $n$  в зоне проводимости полупроводника от интенсивности  $I$  светового поля для центральной частоты его спектра  $\hbar\omega_0 = 0.592$  (1), 0.588 (2), 0.584 (3) и 0.580 эВ (4).

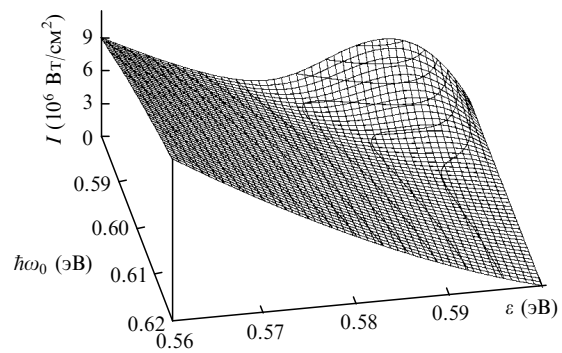


Рис.3. Зависимость ширины запрещенной зоны  $\varepsilon$  электронного спектра квазиодномерного пайерлсовского полупроводника от интенсивности  $I$  и центральной частоты  $\omega_0$  оптического спектра светового поля.

области изменения  $I$  ( $I_2 < I < I_1$ ) имеют неоднозначный характер. В точках  $I_1$  и  $I_2$ , где  $\partial\varepsilon/\partial I = 0$  и  $\partial n/\partial I = 0$ , происходят скачкообразные изменения  $\varepsilon$  и  $n$  (на рис.1, 2 показаны стрелками). Разность  $\Delta I = I_1 - I_2$  определяет ширину области оптической бистабильности при нарастающем поглощении.

Необходимо отметить, что условие (15) при температуре  $T = 100$  К и ширине запрещенной зоны в отсутствие облучения  $\varepsilon_0 = 0.6$  эВ накладывает следующее ограничение на область изменения ширины запрещенной зоны  $\varepsilon$  при наличии облучения:

$$0 < \varepsilon_0 - \varepsilon < 0.036 \text{ эВ}. \quad (17)$$

Неравенство (17), как видно из рис.1 и 3, справедливо для полученных нами решений, включая участки бистабильности системы.

На рис.3 показана трехмерная поверхность  $I(\hbar\omega_0, \varepsilon)$ , иллюстрирующая сложное немонотонное и неоднозначное поведение внутреннего параметра системы  $\varepsilon$  при изменении параметров внешнего воздействия  $I$  и  $\omega_0$ .

Бистабильность поглощения электромагнитных волн в пленках VO<sub>2</sub> вблизи критической температуры фазового перехода полупроводник – металл  $T_0 = 340$  К наблюдается экспериментально [39–41]. Численные значения длины волны ( $\lambda = 2.2$  мм) и интенсивностей ( $I_{1,2} \sim 1$  Вт/см<sup>2</sup>) облучения, времени переключения между полупроводниковым и металлическим состояниями ( $\tau_s \sim 0.1$  с), а также вид зависимостей интенсивностей  $I_{1,2}$  от температуры окружающей среды свидетельствуют [40] о тепловом механизме возникновения наблюдавшейся в [39–41] бистабильности.

Используя формулу

$$\gamma = \frac{16\pi^2}{cn_1\hbar^2} \sum_{|k| \leq \pi/2} \varepsilon_k d_k^2 g\left(\frac{2\varepsilon_k}{\hbar} - \omega_0\right) \tanh \frac{\varepsilon_k - \mu}{2k_B T}, \quad (18)$$

для электронного механизма переключения между двумя полупроводниковыми состояниями с малым коэффициентом оптического поглощения  $\gamma_1$  при  $\hbar\omega_0 < \varepsilon$  и большим коэффициентом оптического поглощения  $\gamma_2$  при  $\hbar\omega_0 > \varepsilon$  получаем численные оценки:

$$\gamma_1 = \gamma(\hbar\omega_0 < \varepsilon) \approx 3 \cdot 10^4 \text{ см}^{-1}, \quad (19)$$

$$\gamma_2 = \gamma(\hbar\omega_0 > \varepsilon) \approx 1.1 \cdot 10^5 \text{ см}^{-1}. \quad (20)$$

- Экспериментально измеренный коэффициент  $\gamma$  оптического поглощения полупроводниковой фазы  $\text{VO}_2$  на частотах  $\hbar\omega_0 > \varepsilon$  лежит в пределах  $(0.15 - 1.8) \cdot 10^5 \text{ см}^{-1}$  [20], что подтверждает справедливость численной оценки (20).
1. Гиббс Х. *Оптическая bistабильность. Управление светом с помощью света* (М., Мир, 1988).
  2. Хаджи П.И., Гайван С.Л. *Квантовая электроника*, **23**, 1009 (1996).
  3. Хаджи П.И., Федоров Л.В. *Квантовая электроника*, **29**, 61 (1999).
  4. Хаджи П.И., Ляхомская К.Д. *Квантовая электроника*, **29**, 43 (1999).
  5. Хаджи П.И., Русанов А.М., Гайван С.Л. *Квантовая электроника*, **27**, 262 (1999).
  6. Хаджи П.И., Ткаченко Д.В., Гайван С.Л. *Квантовая электроника*, **27**, 265 (1999).
  7. Ротару А.Х., Тонгу В.З. *ЖЭТФ*, **112**, 1778 (1997).
  8. Сайко А.П. *Квантовая электроника*, **25**, 259 (1998).
  9. Есипов С.Э. *ЖЭТФ*, **97**, 1031 (1990).
  10. Парканский Б.Ш., Ротару А.Х. *ЖЭТФ*, **99**, 899 (1991).
  11. Лысенко В.Г., Ревенко В.И., Тратас Т.Г., Тимофеев В.Б. *ЖЭТФ*, **68**, 335 (1975).
  12. Лысенко В.Г., Ревенко В.И. *ФТТ*, **20**, 2144 (1978).
  13. Коршунов В.В., Лебедев М.В., Лысенко В.Г. *ФТТ*, **27**, 1518 (1985).
  14. Днепровский В.С., Климов В.И., Названова Е.В. *ФТТ*, **32**, 1941 (1990).
  15. Днепровский В.С., Климов В.И., Названова Е.В. *ЖЭТФ*, **98**, 1035 (1990).
  16. Балтрамеюнас Р., Гульбинас В., Екимов А.И., Кудрявцев И.А., Пакальнис С., Тамулатис Г., Геник Д.И. *ФТП*, **25**, 271 (1990).
  17. Булаевский Л.Н. *УФН*, **115**, 263 (1975).
  18. Артеменко С.Н., Волков А.Ф., Зайцев-Зотов С.В. *УФН*, **166**, 434 (1996).
  19. Gruner G. *Rev.Mod.Phys.*, **60**, 1129 (1988).
  20. Бугаев А.А., Захарчена Б.П., Чудновский Ф.А. *Фазовый переход металл–полупроводник и его применение* (Л., Наука, 1979).
  21. Бугаев А.А., Гудялис В.П., Захарчена Б.П., Чудновский Ф.А. *Письма в ЖЭТФ*, **34**, 452 (1981).
  22. Минакова В.Е., Латышев Ю.И., Волков В.А. *Письма в ЖЭТФ*, **62**, 422 (1995).
  23. Надь Ф.Я., Иткис М.Е. *Письма в ЖЭТФ*, **63**, 246 (1996).
  24. Семенов А.Л. *ФТТ*, **40**, 2113 (1998).
  25. Семенов А.Л. *ЖЭТФ*, **116**, 2154 (1999).
  26. Berggren K.F., Huberman B.A. *Phys.Rev.B*, **18**, 3369 (1978).
  27. Капаев В.В., Копаев Ю.В., Молотков С.Н. *Микроэлектроника*, **12**, 499 (1983).
  28. Семенов А.Л. *ФТТ*, **39**, 925 (1997).
  29. Семенов А.Л. *ЖЭТФ*, **117**, 1175 (2000).
  30. Семенов А.Л. *ФТТ*, **42**, 1125 (2000).
  31. Семенов А.Л. *ФТТ*, **42**, 1842 (2000).
  32. Семенов А.Л. *ЖЭТФ*, **115**, 1297 (1999).
  33. Семенов А.Л. *ЖЭТФ*, **111**, 1398 (1997).
  34. Семенов А.Л. *ЖЭТФ*, **111**, 2147 (1997).
  35. Семенов А.Л. *ЖЭТФ*, **114**, 1407 (1998).
  36. Балащенков Н.Р., Карасев В.Б., Солунин А.А., Хахаев И.А., Цибадзе К.Ш., Чудновский Ф.А. *ФТТ*, **36**, 2475 (1994).
  37. Андреев А.В., Емельянов В.И., Ильинский Ю.А. *Кооперативные эффекты в оптике: сверхизлучение, bistабильность, фазовые переходы* (М., Наука, 1986).
  38. Клышико Д.Н. *Физические основы квантовой электроники* (М., Наука, 1986).
  39. Биленко Д.И., Лодгауз В.А. *Квантовая электроника*, **12**, 177 (1985).
  40. Биленко Д.И., Лодгауз В.А., Хасина Е.И. *ЖТФ*, **59**, 140 (1989).
  41. Егоров Ф.А., Темиров Ю.Ш., Соколовский А.А. *Письма в ЖЭТФ*, **15**, 8 (1989).